

# PERSPECTIVAS CLIMÁTICAS PARA EL AÑO 2.025 SEGÚN LA ASTROMETEOROLOGÍA

## Ciclos de Spangaro y Saros

Spangaro: 1.988

Saros: 2.007

|          | Ob. Ebro | Retiro | Zaragoza | Sevilla | Valencia               |
|----------|----------|--------|----------|---------|------------------------|
| 1.988    | 482,9    | 413,9  | 369,7    | 503,5   | 391,2 l/m <sup>2</sup> |
| 2.007    | 516,2    | 406,4  | 420,0    | 377,5   | 841,3 l/m <sup>2</sup> |
| Promedio | 528      | 454    | 320      | 550-600 | 516,3 l/m <sup>2</sup> |

Los datos promedio son orientativos.

## Posición de $\Omega$

Desde 1° 10'  $\Upsilon$  (6 enero) a 12° 22'  $\text{X}$  (27 diciembre)

Barridos en torno al Ecuador de  $\pm 28,6^\circ$  a  $\pm 28,3^\circ$ .

## Posiciones de los ápsides lunares

### Perigeo

1°  $\text{Y}$  (8 enero); retrocede hasta 0°  $\Upsilon$  (2 febrero); avanza a 2°  $\text{II}$  (20 julio); retrocede a 25°  $\Upsilon$  (10 septiembre) y avanza hasta 5°  $\text{II}$  (4 diciembre).

### Apogeo

Desde 24°  $\text{Z}$  (21 enero) va a 4°  $\text{M}$  (13 abril); retrocede a 2°  $\text{M}$  (11 mayo); avanza a 27°  $\text{M}$  (23 octubre) y retrocede a 24°  $\text{M}$  (17 diciembre).

Perigeo mínimo 27 abril y 5 noviembre.

Perigeos alejados de  $\gamma$  y  $\gamma'$ ; 17 de marzo apogeo; 26 septiembre apogeo.

## Sicigias angulares

13 enero;  $\bigcirc$  1:30 GMT.

29 enero;  $\bullet$  12:37.

28 febrero;  $\bigcirc$  00:46.

13 abril;  $\bigcirc$  00:23.

24 julio;  $\bullet$  19:12  $\text{♁}$  DES

23 agosto;  $\bullet$  06:08 ASC

7 septiembre;  $\bigcirc$  18:10  $\text{♃}$   $\text{♁}$  ASC, eclipse total.

21 octubre;  $\bullet$  12:26 MC

9-10 angulares / 25 total

20 noviembre ● 6:48 ♀ ASC  
4 diciembre; ○ 23:15 ☾ ♀ MC

### Sicigias Browne

- 14 marzo 6:56 GMT (1 h adelanto)
- 27 abril 19:32
- 11 junio 07:45
- 10 julio 20:38 (1 h retraso)
- 24 julio 19:12
- 9 agosto 7:56
- 23 agosto 6:08 (1 h adelanto)
- 7 septiembre 18:10 (1 h adelanto)
- 21 septiembre 19:55
- 20 noviembre 06:48 (30-45 min adelanto)

### Cruces de los soberanos y aspectos mutuos

Comienzos de febrero ♃ 82°-83° ♃ (hasta 20-F).

6 marzo: ☉ ♀ ♃ □ ♃ (☾ da la fuerza).

15 junio: ♃ □<sub>1</sub> ♃ (cuadrantes).

22-24 junio: ☉ ♀ ♃ □ ♃

9 agosto: ♂ ♃ ♃ ♃<sub>R</sub> ♃ (exilio y caída, equinoccial, climatérica). ☾ da la fuerza 23 julio y 1 de agosto.

5 septiembre: ♂ ♃ □<sub>1</sub> ♃ ☾

9 diciembre: ♂ ♃ □<sub>2</sub> ♃ ♃; alrededor del solsticio ☉ ♀ ♂ □ ♃

♀ ♀ ☉

2 marzo ♀<sub>R</sub> 10° ♃

23 marzo: ♀<sub>R</sub> ♀ ☉

A partir del 15 de marzo ♃<sub>R</sub>, ♀<sub>R</sub> (*boisterous condition*) con ♂ ☾ y ♃ II (planetas débiles significan aguas).

Del 15 de marzo al 15 de abril *boisterous condition* + ♂, ♃ débiles

23 marzo: ♀<sub>R</sub> ♀ ☉ ]

24 marzo: ♃<sub>R</sub> ♀ ♃ ]

### Aperturas de las puertas

20 febrero: ♃ □<sub>2</sub> ♃ (recepción mutua).

12 marzo: ☉ ♀ ♃ 22° ♃ (☾ da la fuerza del 6 al 7). Regencia sobre el horizonte, salvo en el Este ibérico.

8 junio: ☿ ♀ ♃ linde ♀ – ☿; ☽ da la fuerza del 3 al 4.  
 22 junio: ☉ □<sub>1</sub> ♃  
 23 julio: ♀ □<sub>2</sub> ♂ regencia en el horizonte del menguante; ☽ da la fuerza los días 21, 28 y 29.  
 21 septiembre: ☉ ♀ ♃ equinoccial (28° ♀ – ♀).  
 1 octubre: ☿ □<sub>1</sub> ♃ (☽ da la fuerza el mismo día).  
 17 diciembre: ☉ □<sub>2</sub> ♃  
 Finales de diciembre: ♀ ♀ ☉ ♀ ♂ ♃

### Condición de “abiertas”

Desde el 21 de marzo hasta el 20 de mayo.

### Sicigias más notables

29 enero ● 12:37 MC; ♃<sub>R</sub> ♀ ASC ♀ 84° ♃ ♀ (recepción); ♂<sub>R</sub> ☿;  
 ♃<sub>R</sub> ♀ doblemente débiles.

13 abril; ☉ 00:23 ☽ MC; ♂ ☿ □, almutén universal. *Boisterous condition.*

9 agosto ☉ 07:56; ♂, ♃ equinocciales en las llaves de la ☽; ♂ ♀ ♃<sub>R</sub> climatórica.

23 agosto. ● 06:08; ♀ ASC en Galicia y Portugal. ♃ ☿ atacar.

7 septiembre. ☉ 18:10 ☽ ♀ ASC eclipse total. ♃ ☿ almutén, □ ♂

♂

21 octubre. ● 12:26 MC □ ♃ ☿ DES (separante, 2° orbe).

20 noviembre. ● 6 :48 ♀ ASC ♀

4 diciembre. ☉ 23 :15 ☽ MC ; ♀ a 8° de ♀ superior.

### Horarios de meteoros desastrosos

29 enero ● 12:37 }  
 5 febrero ☽ 08:03 }

5 febrero ☽ 08:03 }  
 28 febrero ● 00:46 }

10 julio ☉ 20:38 }  
 18 julio ☾ 00:39 }

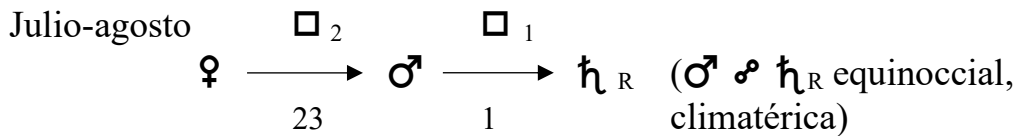
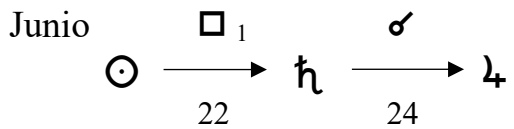
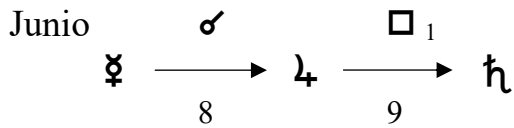
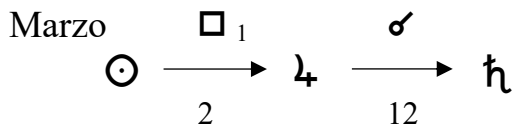
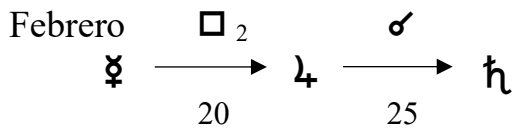
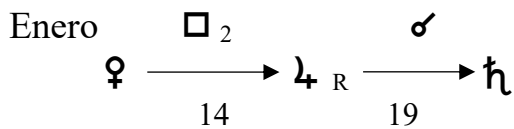
1 agosto ☽ 12:42 }  
 9 agosto ☉ 07:56 }

21 septiembre ● 19:55 }  
 29 septiembre ☽ 23:55 } 6 horas exactas

**Cuartos angulares**

- 6 enero ☽ 23:57 ☽ DES
- 20 febrero ☾ 17:34 ☽ FC
- 22 marzo ☾ 11:31 ☽ VI
- 5 abril ☽ 02:16 ☽ VI
- 21 abril ☾ 01:37 ☽ ASC
- 20 mayo ☾ 12:00 ☽ DES
- 18 julio ☾ 00:39 ☽ XII
- 1 agosto ☽ 12:42 ☽ ASC
- 16 agosto ☾ 05:13 ☽ MC
- 31 agosto ☽ 06:26 ☽ FC
- 29 septiembre ☽ 23:55 ☽ VI
- 13 octubre ☾ 18:14 ☽ FC
- 12 noviembre ☾ 05:29 ☽ MC

**Cesión de fuerza de inferiores a superiores**



## Fenómenos astronómicos destacables en 2.025

Durante junio y julio  $\Psi_{Eq}$  ( $\delta \sim 0^\circ 22' S$ ) con  $\hbar$  cercano.

Finales de diciembre  $\text{♀} \text{♁} \text{☉} \text{♁} \text{♂} \text{♃}$ ; d da la fuerza.

## Conjunciones y aspectos $\text{☉}$ – planetas soberanos

16 enero:  $\text{☉} \text{♁} \text{♂}$ ;  $\text{♀}$ ,  $\text{♁}_R$ ,  $\text{♃}_R$  en las llaves de la d

2 marzo:  $\text{☉} \square_1 \text{♃}$

12 marzo:  $\text{☉} \text{♁} \text{♃}$

20 abril:  $\text{☉} \square_2 \text{♂}$

22 junio:  $\text{☉} \square_1 \text{♃}$

24 junio:  $\text{☉} \text{♁} \text{♃}$

21 septiembre:  $\text{☉} \text{♁} \text{♃}$

17 octubre:  $\text{☉} \square_1 \text{♃}$

17 diciembre:  $\text{☉} \square_2 \text{♃}$

## Retrogradaciones simultáneas

Comienza enero con  $\text{♂}_R \text{♁} + \text{♃}_R \text{♂}$  (doblemente débiles), hasta el 4-F:  $\text{♃}_D$

15 marzo,  $\text{♁}_R$ ,  $\text{♀}_R$  *boisterous condition* ( $\text{♁}$ ) durante 1 mes (hasta el 13 abril,  $\text{♀}_D$ ).

13 julio  $\text{♃}_R$ ; 18 julio  $\text{♁}_R$  (2 retrógrados); 11 agosto  $\text{♁}_D$ . Por tanto, del 18 de julio al 11 de agosto, 2 R).

9 noviembre  $\text{♁}_R + \text{♃}_R$ ; 11-N  $\text{♃}_R$  (a partir del 11 3 R,  $\text{♁}_R$ ,  $\text{♃}_R$  y  $\text{♃}_R$ ).

28 noviembre:  $\text{♃}_D$  (2 R); 29-N:  $\text{♁}_D$  (1 R). Queda solamente  $\text{♃}_R$

## Pasos por el Ecuador y por los Trópicos

11 enero:  $\text{♁} 23^\circ 30' S$

15, 16 enero:  $\text{♁} \delta_{\text{máx.}} 23^\circ 47' S$

19 enero:  $\text{♁} 23^\circ 30' S$

30 enero:  $\text{♀}_{Eq}$

9 febrero:  $\text{♂} \delta_{\text{máx.}} 26^\circ 14' N$

2 marzo:  $\text{♁}_{Eq}$

3 abril:  $\text{♁}_{R Eq}$

7 abril:  $\text{♂} 23^\circ 30' N$

23 abril:  $\text{♁}_{Eq}$

1 junio:  $\text{♁} 23^\circ 30' N$

JUNIO-JULIO:  $\Psi \delta 0^\circ 22' S$

11 junio:  $\text{♁} \delta_{\text{máx.}} 25^\circ 19' N$

11-18 junio:  $\text{♃} \delta_{\text{máx.}} 23^\circ 17' N$

20 junio: ☿ 23° 30' N  
 5 agosto: ♀  $\delta_{\text{máx.}}$  22° 01' N  
 8 agosto: ♂<sub>Eq</sub> (♁  $\mathfrak{h}_R$ )  
 12-16 septiembre: ♀ 23° 30' N  
 19 septiembre: ☿<sub>Eq</sub>  
 16 octubre: ♀<sub>Eq</sub>  
 1 noviembre: ☿ 23° 30' S  
 4-8 noviembre: ♀ 23° 30' S  
 6, 7 noviembre: ☿  $\delta_{\text{máx.}}$  24° S  
 11 noviembre: ☿ 23° 30' S  
 28 noviembre: ♂ 23° 30' S  
 15-19 diciembre: ♂  $\delta_{\text{máx.}}$  24° 13' S  
 21 diciembre: ♀ 23° 30' S  
 28 diciembre: ☿ 23° 30' S; ♀  $\delta_{\text{máx.}}$  23° 44' S

### Sicigias equinociales: valoración

**Primavera:** aunque la ☉ es eclipse total, cae apartada de 0° ♃ (14 de marzo) y de los ápsides. Eso sí, ☾<sub>Eq</sub> del 14 de marzo se produce a las 18:05 y la sicigia a las 06:56 GMT. ☾ se acerca al Apogeo (40° de distancia). No se trata de una sicigia potente. ♁ a 1° del ☉ (separante).

**Otoño:** ● potente gravitacionalmente (29° 05' ♎); la ● se produce a las 19:55 GMT y ☾<sub>Eq</sub> a las 17:45. Pero no es angular, sino cadente. Como en primavera, ♁ está a 1° de ♁ a las luminarias. Eso sí, es sicigia Browne (proclive al descenso de la circulación zonal).

### Índice de Concentración Planetaria

Hay un reparto bastante extenso de los planetas por el Zodíaco en 2.025; ♃ transita ♈ y ♁, ♁  $\mathfrak{h}$   $\mathfrak{h}$  y entra en ♃ y Marte recorre desde ♁ a ♃. Los arcos van sobre 120°, no bajando de este valor. Se alcanza el valor máximo de 180° con ♂  $\mathfrak{h}$   $\mathfrak{h}_R$  climatérica (equinoccial en el verano, culmina a primeros de agosto).

Por tanto, este factor no indica grandes desequilibrios, ni en la onda astronómica, ni en la onda climática inducida. Otra cosa es el exceso de energía térmica del acoplamiento océanos-atmósfera, que por sí solo es capaz de generar los extremos climáticos vividos en los últimos años.

### Valoración general del año 2.025